

# МИНЕРАЛЫ НИОБИЯ В АЛЯСКИТАХ И МУСКОВИТ-РЕДКОМЕТАЛЛЬНЫХ ПЕГМАТИТАХ ВОДЛОЗЕРСКОГО БЛОКА (ЮВ ФЕННОСКАНДИЯ)

Куликова<sup>1</sup> В.В., Куликов<sup>1</sup> В.С., Бычкова<sup>2</sup> Я.В., Икконен<sup>3</sup> П.В., Мельник<sup>3</sup> Н.А.

<sup>1</sup>Институт геологии Карельского НЦ РАН, г. Петрозаводск, e-mail:[vkulikova@yandex.ru](mailto:vkulikova@yandex.ru),

<sup>2</sup>ИГЕМ РАН, г. Москва, e-mail:[yanab66@yandex.ru](mailto:yanab66@yandex.ru)

<sup>3</sup>ИХТРЭМС КНЦ РАН, г. Анатиты, email:[nat-melnik@list.ru](mailto:nat-melnik@list.ru)

В пределах Водлозерского блока ЮВ Фенноскандии и в окаймляющих его зеленокаменных поясах кислый магматизм в мезо- и неоархее приобрел самостоятельное значение и проявился при формировании натровых гранитоидов на начальном, а калиевых гранитов и их производных – на заключительном этапе преобразования тоналит-диорит-гранодиоритового комплекса [Куликова, 1993; Петрохимические серии.., 2001; История Земли.., 2005 и др.]. Известно, что многообразие палингенных гранитоидов подчеркивается разными содержаниями редких элементов, позволивших разделить эти породы на 11 геохимических типов (рядов) толеитового, андезитового и латитового: агпайтовые редкометалльные, палингенные известково-щелочные, плюмазитовые редкометалльные, щелочные и щелочные редкометалльные, гранитоиды эндербит-чарнокитовой серии, рапакиви и ультраметаморфические. Плагиограниты ЮВ Фенноскандии близки к среднему геохимическому типу гранитоидов андезитового ряда Л.В. Таусона, где в составе летучих основная роль принадлежит  $H_2O$ ,  $Cl$ ,  $CO_2$  [Таусон, 1977; Таусон и др., 1984 и др.].

Трондьемиты и риолиты мезоархея региона встречаются в виде крупных жил с четкими секущими контактами и мигматизируют амфиболиты и тоналиты. Позднекинематические порфировидные плагиомикроклиновые граниты 1 фазы семейства умереннощелочных гранитов нормального ряда и умереннощелочные лейкограниты принято считать неоархейскими. Они развиты вдоль восточного побережья Онежского, по западному берегу оз. Водлозера и образуют обширные плоские массивы (Кубовский, Охтомозерский и др.), приуроченные к пологим субгоризонтальным зонам отслоения (деламинация – ?) и характеризующиеся небольшой мощностью (10-20м). Граниты возникли, возможно, за счет наложенного окварцевания при аляскитизации и образуют сложнопостроенные многофазные комплексы лейкогранитов-алляскитов-пегматитов, замещая как тоналиты, так и плагиограниты. При значительном эрозионном срезе эти тела производят впечатление крупных массивов, которые сопровождаются своеобразными полевошпатовыми пегматитами, лейкогранитами и мусковит-редкометалльными пегматитами с возрастом около  $2733-2650\pm50$  Ma (но, возможно, и моложе), приуроченными к одной из самых поздних устанавливаемых сланцеватостей. Первые признаки формирования этого комплекса относятся к периоду около 2850 Ma, когда по тектоническим зонам стали проявляться калишпатизация субстрата, амфиболовый порфиробластез по нему (а K-Аг-система амфиболов и биотитов нарушилась) и фиксировался метаморфизм высокотемпературной амфиболовой фации, возможно, обусловленной воздействием мантийного плюма Виндибелт с опережающим его флюидным фронтом.

По своему химическому составу диориты, гранодиориты (тоналиты), плагиограниты (трондьемиты), лейкограниты, мусковит-редкометалльные пегматиты на диаграмме ATM [ $(Al_2O_3/TiO_2) - MgO$ ] располагаются в интервалах содержаний  $MgO$ , соответственно: 4-1%, 1-0.3%, 0.3-0.1%, <0.1%, что не противоречит диаграмме TAS [ $(Na_2O+K_2O) - SiO_2$ ]. При этом обнаруживаются две особенности: 1) боузновская тенденция в нарастании  $SiO_2$  и  $H_2O = 1.2-4.3\%$ , что контролируется амфиболовым и магнетитом, и 2) четкая финнеровская тенденция, наблюдаемая по нарастанию Fe и щелочей от более примитивных тоналитов – натровых риолитов к трондьемитам, гранитам и лейкогранитам. Петрохимически трондьемиты (плагиограниты) коррелируются с составами вмещающих пород: залегающие среди метабазитов имеют более высокое содержание оксидов Ti, Al, общего Fe, Mg, Ca, P, Zr и более низкое – Rb, Sr, Ba по сравнению с аналогичными породами, секущими диорит-

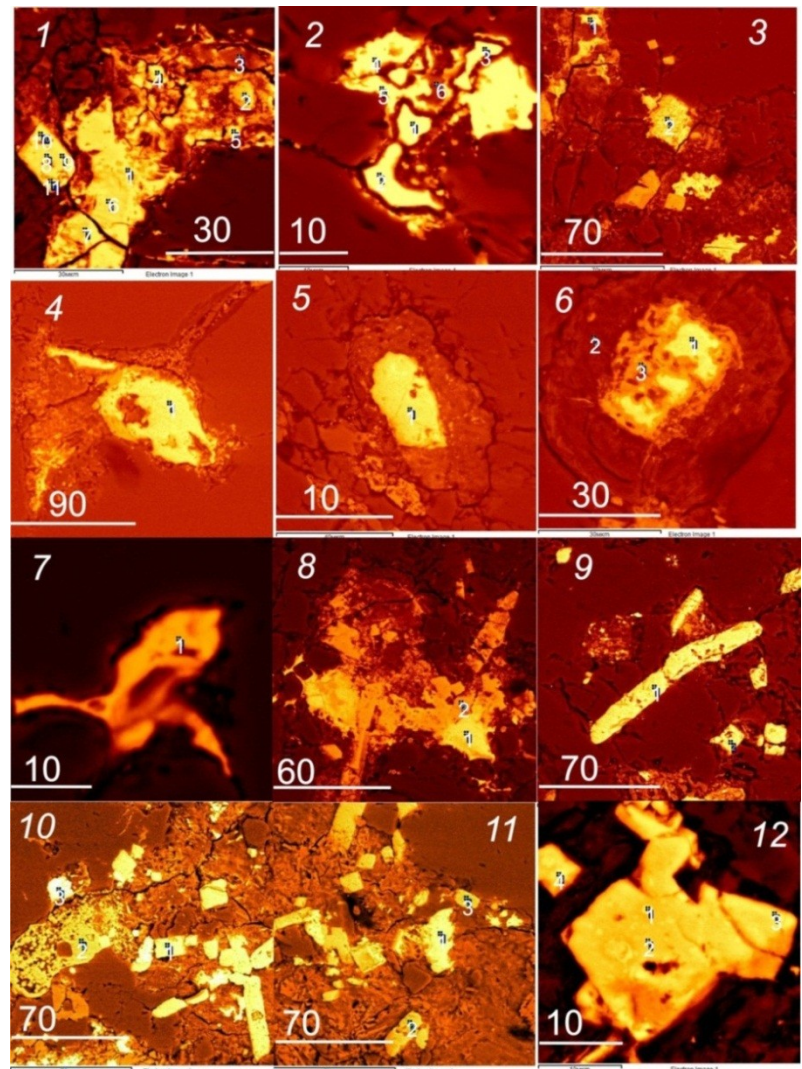
тоналитовые гнейсы. Средние содержания в неизмененных-? плагиогранитах: Rb 80г/т, K/Rb 220, в дацитах, соответственно, 49 и 190; в риолитах 41 и 280; концентрации Pb в риолитах 22 г/т-1.5%, Sn до 22г/т, Mo 7-22г/т. Вмещающие породы вблизи жил лейкосомы насыщены минералами-концентраторами K<sub>2</sub>O, Rb, Ba – биотитом и микроклином.

Тренд позднекинематических гранитов начинается от тоналитового тренда с MgO = 1.3-1.5% и ATM = 35-40 с нарастанием значения последнего до 300 и с уменьшением MgO до 0.1-0.2% для пегматитов мусковит-редкометалльной формации (боуэновская тенденция). Они, являясь продуктом максимального флюидообразования, обнаруживают следующую закономерность составов в ряду лейкограниты–аляскиты–пегматиты [Сафонова, Куликова, 1982], соответственно (в%): SiO<sub>2</sub> 70.08-75.64, 72.26-75.46, 63.34-74.8; CaO 0.98-1.26, 0.7-0.98, 0.14-0.56; Na<sub>2</sub>O 2.4-4.5, 3.68-4.44, 3.58-7.14; K<sub>2</sub>O 3.22-5.55, 3.5-5.31, 3.5-4.64; Li<sub>2</sub>O 0.0021-0.0136, 0.0010-0.0044, 0.0018-0.0006; Rb<sub>2</sub>O 0.0195-0.0268, 0.0354-0.048, 0.0489-0.0838; (в г/т) Pb 32, 100, 22; Zn 38, 49, 28; Sn 46, 100, 46. В отдельных пробах лейкогранитов и во всех пробах аляскитов и пегматитов приближенно-количественным анализом ранее был установлен Nb [Куликова, 1993]. Контрастность редкометалльных гранитоидов различных геохимических типов наиболее полно проявлена в лейкократовых гранитах и подчеркивается редкометалльным индексом [(F/1000×(Li+Rb)/(Sr+Ba)], изменяющимся от 0.002 (в плагиогранитах толеитового ряда) до 156 (в онгонитах – литий-фтористой фации плюмазитовых редкометалльных гранитов) [Таусон и др., 1984]. На ATM-диаграмме эти особенности гранитоидов отчетливо подчеркиваются на уровне содержаний MgO=0.02-0.3%, где устанавливается обратная феннеровской эволюция в гранитах за счет последовательной смены составов полей гранитов от аляскитов до лейкогранитов, обогащенных фтором и флюидами, и выделения почти мономинеральных топазитов [Коваленко, 1977].

П.В. Икконеным и Н.А. Мельник [Мельник, Икконен, 2011] получены эксклюзивные результаты радиологических исследований вышеуказанного района в полевых условиях и на стационарной базе, аккредитованной региональной лабораторией радиационного контроля ИХТРЭМС КНЦ РАН, которые показали, что кислые породы Водлозерского блока, в целом, относятся к торийсодержащим. Максимальные значения эффективной удельной активности ( $A_{\text{эфф}}$ ) с учетом неопределенности измерений установлены для тоналитов – 540 Бк/кг и гранитизированных гнейсов – 430 Бк/кг. Во всех исследуемых горных породах были обнаружены природные радионуклиды рядов  $^{238}\text{U}((0.1-1.4)\times 10^{-3}$  мас.%) и  $^{232}\text{Th}((0.3-3.9)\times 10^{-3}$  мас.%), а также  $^{40}\text{K}$  (0.5-4.8 мас.%). Максимальные содержания  $^{238}\text{U}(^{226}\text{Ra})$  характерны для лейкогранитов, максимальные содержания  $^{232}\text{Th}$  обнаружены также в тоналитах, плагиомикроклиновых гранитах и гнейсах. В пробе пегматита из кровли аляскитового гранита в долине р. Черевы на восточной окраине Водлозерского блока обнаружены природные радионуклиды рядов  $^{238}\text{U}$  и  $^{232}\text{Th}$  ( $^{226}\text{Ra}$ ,  $^{212}$ ,  $^{214}\text{Pb}$ ,  $^{228}\text{Ac}$ ,  $^{212,214}\text{Bi}$  и др.). Средние значения результатов определения в исследуемом образце удельной радиоактивности радиотоксичных нуклидов, находящихся в состоянии радиоактивного равновесия, составляют (Бк/кг):  $^{226}\text{Ra}$  23.2±4.5;  $^{232}\text{Th}$  52.9±7.8;  $^{40}\text{K}$  794±140;  $A_{\text{эфф}}$  160±28; мощность экспозиционной дозы (МЭД) гамма-излучения на поверхности образцов 0.10-0.15 мкЗв/ч.

Породы гранитоидного ряда характеризуются повышенными содержаниями ториевых минералов (моанцит, ксенотим и др.) [Мельник, Икконен, 2011]. Авторами тезисов исследовался образец крупнозернистых мусковит-редкометалльных пегматитов в Институте геологии Карельского НЦ РАН в 2009 г. на микроанализаторе «INCA Energy 350» на базе сканирующего электронного микроскопа «VEGA II LSH». Установлена ранее неизвестная поздняя минерализация ниобийсодержащих минералов или их фрагментов (рис. 1) переменного состава. Приведенные ниже химические составы минералов (вес.-%), полученные на микрозонде, имеют соответствующие координаты на рис. 1. **Рис.1.1: 1)**MgO 0.40, Al<sub>2</sub>O<sub>3</sub> 3.81, SiO<sub>2</sub> 38.77, Fe<sub>2</sub>O<sub>3</sub> 3.94, ZrO<sub>2</sub> 38.76, Ce<sub>2</sub>O<sub>3</sub> 0.90, Er<sub>2</sub>O<sub>3</sub> 1.03, Yb<sub>2</sub>O<sub>3</sub> 1.32, HfO<sub>2</sub> 1.85, IrO<sub>2</sub> 3.93, ThO<sub>2</sub> 4.25, UO<sub>3</sub> 0.50; **2)**SiO<sub>2</sub> 1.88, Fe<sub>2</sub>O<sub>3</sub> 94.49, Nb<sub>2</sub>O<sub>5</sub> 3.63; **3)**MgO 6.76, Al<sub>2</sub>O<sub>3</sub> 15.10, SiO<sub>2</sub> 55.52, K<sub>2</sub>O 4.14, Fe<sub>2</sub>O<sub>3</sub> 18.49; **4)** Na<sub>2</sub>O 3.16, MgO 0.66, Al<sub>2</sub>O<sub>3</sub> 4.70, SiO<sub>2</sub> 18.21, P<sub>2</sub>O<sub>5</sub> 18.84, K<sub>2</sub>O 1.14, CaO 1.53, TiO<sub>2</sub> 1.28, Fe<sub>2</sub>O<sub>3</sub> 18.01, Nb<sub>2</sub>O<sub>5</sub> 12.49, Ce<sub>2</sub>O<sub>3</sub> 2.10, Ta<sub>2</sub>O<sub>5</sub> 4.07, ThO<sub>2</sub>

13.20,  $\text{UO}_3$  0.22; **5)  $\text{Na}_2\text{O}$**  2.31,  $\text{MgO}$  1.20,  $\text{Al}_2\text{O}_3$  7.02,  $\text{SiO}_2$  17.94,  $\text{P}_2\text{O}_5$  23.05,  $\text{SO}_3$  1.68,  $\text{K}_2\text{O}$  0.98,  $\text{CaO}$  2.98,  $\text{Fe}_2\text{O}_3$  14.16,  $\text{Nb}_2\text{O}_5$  7.31,  $\text{Ce}_2\text{O}_3$  4.40,  $\text{Nd}_2\text{O}_3$  2.83,  $\text{Ta}_2\text{O}_5$  3.03,  $\text{ThO}_2$  10.70; **6)  $\text{Al}_2\text{O}_3$**  3.29,  $\text{SiO}_2$  33.81,  $\text{CaO}$  0.52,  $\text{TiO}_2$  0.36,  $\text{Fe}_2\text{O}_3$  5.34,  $\text{ZrO}_2$  42.37,  $\text{HfO}_2$  1.75,  $\text{IrO}_2$  7.28,  $\text{ThO}_2$  4.83; **7)  $\text{Al}_2\text{O}_3$**  2.62,  $\text{SiO}_2$  33.89,  $\text{K}_2\text{O}$  0.24,  $\text{CaO}$  0.34,  $\text{TiO}_2$  0.37,  $\text{Fe}_2\text{O}_3$  3.74,  $\text{ZrO}_2$  47.85,  $\text{HfO}_2$  2.26,  $\text{Ta}_2\text{O}_5$  0.32,  $\text{IrO}_2$  4.44,  $\text{ThO}_2$  3.67; **8)  $\text{Al}_2\text{O}_3$**  3.15,  $\text{SiO}_2$  36.69,  $\text{K}_2\text{O}$  0.47,  $\text{CaO}$  1.88,  $\text{MnO}$  2.66,  $\text{Fe}_2\text{O}_3$  3.65,  $\text{ZrO}_2$  39.94,  $\text{HfO}_2$  2.28,  $\text{IrO}_2$  3.67,  $\text{ThO}_2$  3.94,  $\text{UO}_3$  0.67; **9)  $\text{Al}_2\text{O}_3$**  2.90,  $\text{SiO}_2$  35.95,  $\text{K}_2\text{O}$  0.49,  $\text{CaO}$  1.94,  $\text{MnO}$  2.55,  $\text{Fe}_2\text{O}_3$  0.82,  $\text{CoO}$  0.43,  $\text{ZrO}_2$  41.37,  $\text{Ce}_2\text{O}_3$  0.73,  $\text{HfO}_2$  2.39,  $\text{IrO}_2$  4.36,  $\text{ThO}_2$  4.39; **10)  $\text{Al}_2\text{O}_3$**  4.38,  $\text{SiO}_2$  39.12,  $\text{K}_2\text{O}$  1.55,  $\text{CaO}$  1.14,  $\text{MnO}$  1.31,  $\text{Fe}_2\text{O}_3$  1.23,  $\text{ZrO}_2$  41.44,  $\text{Yb}_2\text{O}_3$  0.88,  $\text{HfO}_2$  2.18,  $\text{IrO}_2$  2.54,  $\text{ThO}_2$  3.64,  $\text{UO}_3$  0.39; **11)  $\text{MgO}$**  0.48,  $\text{Al}_2\text{O}_3$  4.28,  $\text{SiO}_2$  41.19,  $\text{K}_2\text{O}$  0.55,  $\text{CaO}$  0.63,  $\text{MnO}$  0.65,  $\text{Fe}_2\text{O}_3$  2.66,  $\text{ZrO}_2$  41.92,  $\text{Ce}_2\text{O}_3$  1.14,  $\text{HfO}_2$  2.28,  $\text{ThO}_2$  3.68. **Рис.1.2:** **1)  $\text{MgO}$**  0.52,  $\text{Al}_2\text{O}_3$  2.18,  $\text{SiO}_2$  7.63,  $\text{CaO}$  1.50,  $\text{TiO}_2$  1.20,  $\text{Fe}_2\text{O}_3$  13.54,  $\text{Nb}_2\text{O}_5$  52.95,  $\text{Ce}_2\text{O}_3$  2.51,  $\text{Nd}_2\text{O}_3$  0.77,  $\text{Sm}_2\text{O}_3$  0.77,  $\text{Ta}_2\text{O}_5$  3.16,  $\text{IrO}_2$  6.75,  $\text{ThO}_2$  2.17,  $\text{UO}_3$  3.69; **2)  $\text{MgO}$**  0.63,  $\text{Al}_2\text{O}_3$  2.57,  $\text{SiO}_2$  12.35,  $\text{P}_2\text{O}_5$  3.58,  $\text{CaO}$  0.72,  $\text{TiO}_2$  1.09,  $\text{Fe}_2\text{O}_3$  13.68,  $\text{Nb}_2\text{O}_5$  50.57,  $\text{Rh}_2\text{O}_3$  1.72,  $\text{Ce}_2\text{O}_3$  1.58,  $\text{Ta}_2\text{O}_5$  2.70,  $\text{IrO}_2$  1.52,  $\text{ThO}_2$  3.02,  $\text{UO}_3$  3.53; **3)  $\text{MgO}$**  0.70,  $\text{Al}_2\text{O}_3$  3.94,  $\text{SiO}_2$  15.05,  $\text{K}_2\text{O}$  0.51,  $\text{CaO}$  1.92,  $\text{TiO}_2$  1.09,  $\text{MnO}$  0.70,  $\text{Fe}_2\text{O}_3$  16.67,  $\text{Y}_2\text{O}_3$  3.39,  $\text{Nb}_2\text{O}_5$  45.9,  $\text{Ce}_2\text{O}_3$  3.96,  $\text{Ta}_2\text{O}_5$  1.88,  $\text{ThO}_2$  1.27,  $\text{UO}_3$  2.43; **4)  $\text{Al}_2\text{O}_3$**  1.63,  $\text{SiO}_2$  28.62,  $\text{P}_2\text{O}_5$  2.63,  $\text{CaO}$  1.04,  $\text{TiO}_2$  0.67,  $\text{MnO}$  0.58,  $\text{Fe}_2\text{O}_3$  8.71,  $\text{Ce}_2\text{O}_3$  1.80,  $\text{Nd}_2\text{O}_3$  0.99,  $\text{Ta}_2\text{O}_5$  0.23,  $\text{IrO}_2$  1.99,  $\text{PbO}$  10.32,  $\text{UO}_3$  3.50; **5)  $\text{Al}_2\text{O}_3$**  1.43,  $\text{SiO}_2$  30.08,  $\text{CaO}$  1.81,  $\text{TiO}_2$  1.15,  $\text{MnO}$  1.40,  $\text{Fe}_2\text{O}_3$  9.65,  $\text{As}_2\text{O}_3$  0.55,  $\text{Y}_2\text{O}_3$  4.36,  $\text{Nb}_2\text{O}_5$  41.90,  $\text{CdO}$  0.47,  $\text{Ce}_2\text{O}_3$  3.40,  $\text{Nd}_2\text{O}_3$  1.61,  $\text{Sm}_2\text{O}_3$  0.88,  $\text{ThO}_2$  1.03; **6)  $\text{Al}_2\text{O}_3$**  1.30,  $\text{SiO}_2$  85.81,  $\text{Fe}_2\text{O}_3$  3.61,  $\text{Nb}_2\text{O}_5$  9.29. **Рис.1.3:** **1)  $\text{Al}_2\text{O}_3$**  2.90,  $\text{SiO}_2$  7.46,  $\text{P}_2\text{O}_5$  6.76,  $\text{TiO}_2$  8.07,  $\text{Fe}_2\text{O}_3$  7.49,  $\text{Nb}_2\text{O}_5$  25.95,  $\text{UO}_3$  41.36; **2)  $\text{SiO}_2$**  14.34,  $\text{CaO}$  5.94,  $\text{TiO}_2$  10.03,  $\text{Fe}_2\text{O}_3$  8.71,  $\text{Nb}_2\text{O}_5$  51.40,  $\text{ThO}_2$  9.57. **Рис.1.4:** **1)  $\text{Al}_2\text{O}_3$**  0.77,  $\text{SiO}_2$  4.87,  $\text{CaO}$  5.89,  $\text{TiO}_2$  2.27,  $\text{MnO}$  0.78,  $\text{Fe}_2\text{O}_3$  11.03,  $\text{Nb}_2\text{O}_5$  60.65,  $\text{Rh}_2\text{O}_3$  1.29,  $\text{Ce}_2\text{O}_3$  2.38,  $\text{Nd}_2\text{O}_3$  1.33,  $\text{Ta}_2\text{O}_5$  5.06,  $\text{ThO}_2$  2.54,  $\text{UO}_3$  0.82; **2)  $\text{Al}_2\text{O}_3$**  2.31,  $\text{SiO}_2$  22.96,  $\text{CaO}$  0.83,  $\text{TiO}_2$  0.85,  $\text{Fe}_2\text{O}_3$  5.90,  $\text{ZrO}_2$  36.52,  $\text{Nb}_2\text{O}_5$  16.96,  $\text{HfO}_2$  2.50,  $\text{Ta}_2\text{O}_5$  2.14,  $\text{IrO}_2$  6.75,  $\text{ThO}_2$  2.26; **3)  $\text{MgO}$**  1.90,  $\text{Al}_2\text{O}_3$  7.30,  $\text{SiO}_2$  21.92,  $\text{K}_2\text{O}$  0.75,  $\text{CaO}$  1.65,  $\text{TiO}_2$  3.38,  $\text{MnO}$  0.54,  $\text{Fe}_2\text{O}_3$  13.40,  $\text{Nb}_2\text{O}_5$  38.13,  $\text{Ce}_2\text{O}_3$  3.15,  $\text{Nd}_2\text{O}_3$  1.26,  $\text{Ta}_2\text{O}_5$  3.44,  $\text{ThO}_2$  3.19; **4)  $\text{SiO}_2$**  4.93,  $\text{CaO}$  4.65,  $\text{TiO}_2$  2.88,  $\text{MnO}$  3.39,  $\text{Fe}_2\text{O}_3$  9.03,  $\text{Nb}_2\text{O}_5$  59.58,  $\text{Ce}_2\text{O}_3$  2.75,  $\text{Nd}_2\text{O}_3$  1.57,  $\text{Ta}_2\text{O}_5$  3.50,  $\text{OsO}_2$  5.09,  $\text{ThO}_2$  1.88,  $\text{UO}_3$  0.75; **5)  $\text{Al}_2\text{O}_3$**  1.09,  $\text{SiO}_2$  8.13,  $\text{CaO}$  2.61,  $\text{TiO}_2$  2.70,  $\text{Fe}_2\text{O}_3$  6.74,  $\text{Nb}_2\text{O}_5$  63.92,  $\text{Rh}_2\text{O}_3$  0.72,  $\text{Ce}_2\text{O}_3$  2.26,  $\text{Ta}_2\text{O}_5$  6.18,  $\text{OsO}_2$  1.14,  $\text{ThO}_2$  2.95,  $\text{UO}_3$  1.56; **6)  $\text{Na}_2\text{O}$**  0.35,  $\text{MgO}$  5.01,  $\text{Al}_2\text{O}_3$  20.81,  $\text{SiO}_2$  55.74,  $\text{P}_2\text{O}_5$  0.73,  $\text{K}_2\text{O}$  3.03,  $\text{CaO}$  0.50,  $\text{TiO}_2$  0.30,  $\text{MnO}$  0.67,  $\text{Fe}_2\text{O}_3$  10.57,  $\text{Nb}_2\text{O}_5$  2.27; **8)  $\text{SiO}_2$**



**Рис. 1.** Аксессорные минералы (в  $\mu\text{m}$ ) мусковит-редкометалльных пегматитов района оз. Волоцкого (Плесецкий р-н, Архангельская обл.). Пояснения в тексте.

100.00; **9)SiO<sub>2</sub>** 100.00. **Рис. 1.5:** **1)** SiO<sub>2</sub> 7.13, CaO 2.31, TiO<sub>2</sub> 2.28, Fe<sub>2</sub>O<sub>3</sub> 6.00, Y<sub>2</sub>O<sub>3</sub> 9.72, Nb<sub>2</sub>O<sub>5</sub> 56.49, Rh<sub>2</sub>O<sub>3</sub> 2.88, Ce<sub>2</sub>O<sub>3</sub> 4.89, Ta<sub>2</sub>O<sub>5</sub> 3.74, ThO<sub>2</sub> 4.56. **Рис. 1.6:** **1)** SiO<sub>2</sub> 4.12, Fe<sub>2</sub>O<sub>3</sub> 5.71, Nb<sub>2</sub>O<sub>5</sub> 31.24, UO<sub>3</sub> 58.94; **2)MgO** 4.93, Al<sub>2</sub>O<sub>3</sub> 22.31, SiO<sub>2</sub> 59.97, K<sub>2</sub>O 3.64, Fe<sub>2</sub>O<sub>3</sub> 9.14; **3)** Al<sub>2</sub>O<sub>3</sub> 3.27, SiO<sub>2</sub> 18.36, P<sub>2</sub>O<sub>5</sub> 7.32, CaO 1.27, TiO<sub>2</sub> 1.38, Fe<sub>2</sub>O<sub>3</sub> 28.84, Nb<sub>2</sub>O<sub>5</sub> 17.78, PtO<sub>2</sub> 9.00, ThO<sub>2</sub> 5.81, UO<sub>3</sub> 6.96. **Рис. 1.7:** **1)** SiO<sub>2</sub> 11.69, CaO 2.47, TiO<sub>2</sub> 2.01, MnO 0.62, Fe<sub>2</sub>O<sub>3</sub> 15.71, Y<sub>2</sub>O<sub>3</sub> 4.42, Nb<sub>2</sub>O<sub>5</sub> 44.45, Ce<sub>2</sub>O<sub>3</sub> 3.84, Nd<sub>2</sub>O<sub>3</sub> 1.83, Sm<sub>2</sub>O<sub>3</sub> 1.10, Ta<sub>2</sub>O<sub>5</sub> 2.14, ThO<sub>2</sub> 7.20. **Рис. 1.8:** **1)** SiO<sub>2</sub> 12.71, CaO 2.60, Fe<sub>2</sub>O<sub>3</sub> 17.48, Nb<sub>2</sub>O<sub>5</sub> 56.95, ThO<sub>2</sub> 10.27; **2)** Al<sub>2</sub>O<sub>3</sub> 2.86, SiO<sub>2</sub> 38.44, ZrO<sub>2</sub> 52.25, ThO<sub>2</sub> 6.45. **Рис.1.9:** **1)** SiO<sub>2</sub> 42.74, CaO 2.22, ZrO<sub>2</sub> 55.04; **2)** Al<sub>2</sub>O<sub>3</sub> 2.67, SiO<sub>2</sub> 35.09, CaO 1.73, ZrO<sub>2</sub> 60.51. **Рис.1.10:** **1)** Al<sub>2</sub>O<sub>3</sub> 4.07, SiO<sub>2</sub> 39.16, Fe<sub>2</sub>O<sub>3</sub> 3.90, ZrO<sub>2</sub> 52.87; **2)** SiO<sub>2</sub> 12.45, Fe<sub>2</sub>O<sub>3</sub> 87.55; **3)** SiO<sub>2</sub> 4.18, CaO 16.51, Nb<sub>2</sub>O<sub>5</sub> 79.31. **Рис.1.11:** **1)** SiO<sub>2</sub> 3.63, CaO 3.98, TiO<sub>2</sub> 8.81, MnO 9.63, Fe<sub>2</sub>O<sub>3</sub> 23.72, Nb<sub>2</sub>O<sub>5</sub> 50.23; **2)** Al<sub>2</sub>O<sub>3</sub> 3.87, SiO<sub>2</sub> 37.83, ZrO<sub>2</sub> 50.46, ThO<sub>2</sub> 7.84; **3)** SiO<sub>2</sub> 42.09, ZrO<sub>2</sub> 57.91. **Рис.1.12:** **1)** Al<sub>2</sub>O<sub>3</sub> 2.91, SiO<sub>2</sub> 20.52, CaO 0.94, MnO 1.18, Fe<sub>2</sub>O<sub>3</sub> 59.21, ZrO<sub>2</sub> 15.24; **2)** Al<sub>2</sub>O<sub>3</sub> 3.37, SiO<sub>2</sub> 36.91, CaO 1.80, MnO 3.09, Fe<sub>2</sub>O<sub>3</sub> 3.14, ZrO<sub>2</sub> 51.69; **3)** Al<sub>2</sub>O<sub>3</sub> 5.34, SiO<sub>2</sub> 43.58, CaO 1.66, ZrO<sub>2</sub> 49.43, **4)** Al<sub>2</sub>O<sub>3</sub> 2.79, SiO<sub>2</sub> 33.49, CaO 1.95, MnO 2.73, Fe<sub>2</sub>O<sub>3</sub> 25.49, ZrO<sub>2</sub> 33.55.

Nb и Ta находятся в большом числе редкоземельных, титановых и др. минералов: фергусонит (Y, Er, Ce, U)(Nb, Ta, Ti)O<sub>4</sub>, эвксенит (Y, Ce, Ca ...)(Nb, Ta, Ti)<sub>2</sub>O<sub>6</sub>, самарскит (Y,Er ...)<sub>4</sub>[(Nb, Ta)<sub>2</sub>O<sub>7</sub>]<sub>3</sub>, ильменорутил (Ti, Nb, Fe)O<sub>2</sub> и др. [Химическая.., 2010]. Состав минералов ряда пирохлор–микролит меняется в широких пределах (% масс): Nb<sub>2</sub>O<sub>5</sub> 0-63, Ta<sub>2</sub>O<sub>5</sub> 0-77, TiO<sub>2</sub> 2-13, ThO<sub>2</sub> 0-5, UO<sub>2</sub> 0-11, UO<sub>3</sub> 0-15, РЗЭ<sub>2</sub>O<sub>3</sub> 2-18, SnO<sub>2</sub> 0-4, ZrO<sub>2</sub> 0-6 при общей формуле [Na,Ca][Nb, Ta]<sub>2</sub>O<sub>6</sub>F. Аналоги вышеописанных минералов Nb встречаются практически на всей территории блока как в позднекинематических гранитоидах, так и в людиковийских породах разного состава. Они постоянно ассоциируются с хорошо ограненными кристаллами циркона, что требует дополнительного изучения.

## Литература

История Земли в галактических и солнечных циклах / Куликова В.В., Куликов В.С., Бычкова Я.В., Бычков А.Ю. – Петрозаводск: КарНЦ РАН, 2005. – 250 с.

Коваленко В.И. Петрология и геохимия редкометалльных гранитоидов. – Новосибирск: Наука, 1977. – 205 с.

Куликова В.В. Волоцкая свита – стратотип нижнего архея Балтийского щита. – Петрозаводск: КарНЦ РАН, 1993. – 255 с.

Мельник Н.А., Икконен П.В. Изучение радиационно-гигиенических характеристик типичных геологических объектов Водлозерского блока // Материалы Всероссийской конференции, посвященной 20-летнему юбилею НП «Водлозерский»: Особо охраняемые природные территории в XXI в. Петрозаводск: КарНЦ РАН, 2011. с. 194-198.

Сафонова Г.П., Куликова В.В. Геохимические критерии в оценке формационной принадлежности пегматитов ЮВ окраины Балтийского щита // Тез. IV семинара по Геохимическим методам поисков месторождений полезных ископаемых. Москва, 1982. Т.3. С. 117-119.

Петрохимические серии магматических пород //Куликова В.В., Куликов В.С., Бычкова Я.В., Бычков А.Ю. – Петрозаводск: КарНЦ РАН, 2001. – 114 с.

Таусон Л.В. Геохимические типы и потенциальная рудоносность гранитоидов. – М: Наука, 1977. – 267с.

Таусон Л.В., Антипин В.С., Захаров М.П., Зубков В.С. Геохимия мезозойских латитов Забайкалья. – Новосибирск: Наука, 1984. – 215 с.

Химическая технология ниобия и tantalа: учебное пособие // Маслов А.А. и др. ТПУ. – Томск: Изд-во ТПУ, 2010. – 97 с.